アレー受信機における内部雑音の校正法に関する研究

吉村 俊祐 (指導教員:平山 裕) 名古屋工業大学 工学部

1. まえがき

近年の無線通信の発達に伴い、電波の到来方向推定が多様化、高分解能化しているが、受信信号には必ず内部雑音が含まれる。多くの到来方向推定法は、素子ごとの雑音が無相関であり、その平均電力が等しいことを前提としているので、雑音の相関行列(R_{nn})を単位行列を用いて表している[I]. しかし、測定結果から、実際のアレー受信機において R_{nn} は単位行列を用いて表せないことが確認された。

本研究では実際のアレー受信機における内部雑音に、ウエイトを R_m の対角成分の差として、素子ごとに重み付けをした値(擬似雑音)を加えることにより、対角成分を最大値で一定にする校正法を提案し、その効果を検証した.

2. 雑音相関行列と提案校正法

K素子リニアアレーにおける、内部雑音ベクトルは次式で表される.

$$N(t) = [n_1(t), n_2(t), \dots, n_K(t)]^T$$
 (1)

式(1)より、雑音相関行列 Rm を次式で定義する.

$$\mathbf{R}_{nn} \equiv E[\mathbf{N}(t)\mathbf{N}^{tl}(t)]$$

$$= \begin{bmatrix} E[|n_{1}(t)|^{2}] & \cdots & E[|n_{1}(t)n_{K}^{*}(t)|] \\ \vdots & \ddots & \vdots \\ E[|n_{K}(t)n_{1}^{*}(t)|] & \cdots & E[|n_{K}(t)|^{2}] \end{bmatrix}$$
(2)

上式において、対角成分は各素子の雑音電力を表す. 理想的な状態において、式(3) は σ^2I と表される.

 R_{mn} の対角成分を最大値で一定にするような、3つの提案校正法を次に示す.提案校正法1は、N(t)に擬似雑音ベクトル n_p を加える方法である.第 $m_{\overline{x}}$ 子($m=1,2,\cdots,K$)の雑音電力が最大の場合、 n_p は次式で表される.ただし、randnは互いに独立したガウス過程の乱数である.

$$\boldsymbol{n}_p = [n_{p1}, \cdots, n_{pk}, \cdots, n_{pK}]^T \tag{4}$$

$$n_{pk} = w_k (randn + j * randn) / \sqrt{2}$$
 (5)

$$w_k = \sqrt{E[|n_m(t)|^2] - E[|n_k(t)|^2]}$$
 (6)

提案校正法 2 は, R_{nn} に擬似雑音行列 N_p を加える方法である. 第m素子の雑音電力が最大の場合, N_p は次式で表される.

$$N_p = diag\{N_{p1}, \dots, N_{pk}, \dots N_{pK}\}$$
(7)

$$N_{pk} = E[|n_m(t)|^2] - E[|n_k(t)|^2]$$
 (8)

提案校正法 3 は、各素子の各I, Q成分に対して擬似雑音ベクトル \mathbf{n}_p ^Dを加える方法である。第m素子のI成分の雑音電力が最大の場合、 \mathbf{n}_p D0は次式で表される。ただし、 $E[|n_k^l(t)|^2]$ は、第k素子のI成分における雑音電力を表す。

$$\mathbf{n}_{p}^{IQ} = \left[n_{p1}^{I} + j n_{p1}^{Q}, \dots, n_{pk}^{I} + j n_{pk}^{Q}, \dots, n_{pK}^{I} + j n_{pK}^{Q} \right]^{T}$$
(9)

$$n_{pk}^{I} = w_k^{I} * randn, n_{pk}^{Q} = w_k^{Q} * randn$$
 (10)

$$w_{k}^{I} = \sqrt{E[|n_{m}^{I}(t)|^{2}] - E[|n_{k}^{I}(t)|^{2}]}$$
 (11)

$$w_{k}^{Q} = \sqrt{E[|n_{m}^{I}(t)|^{2}] - E[|n_{k}^{Q}(t)|^{2}]}$$
 (12)

3. 提案校正法による Rm の校正

測定に用いたアレー受信機の諸元を表1に記す. 局部発

振器(LO)の出力電力が10dBm, スナップショット数50 の場合において、測定した R_m と、提案校正法 $1\sim3$ を適用した R_m について、それぞれの対角成分、非対角成分、固有値分布を比較し、表2に記す、ただし、提案校正法を適用後の R_m は試行回数100回の平均値であり、非対角成分は、対角成分の最大値を0dBとした場合の値である。また、固有値分布を図1 に示す、ただし、最大値で正規化して、dBで表示している。提案校正法1 では1.85dB,提案校正法2 では1.83dB,提案校正法3 では2.19dB だけ固有値のばらつきを改善することができた。

4. まとめ

どの提案校正法においても、 R_m の固有値のばらつきを改善することができた。中でも、提案校正法3が最もよい結果を示した。提案校正法3が最もよく校正できた理由として、 R_m の対角成分だけでなく非対角成分にも作用したことが挙げられる。今後の課題として、 R_m の非対角成分(素子ごとの雑音の相関)を抑える校正法の検討や、到来方向推定結果への影響の検証が挙げられる。

参考文献

[1] 菊間信良, "アダプティブアンテナ技術," オーム社, 2003.

表1:測定に用いたアレー受信機の諸元

アレー形状	半波長等間隔リニアアレー		
素子数	8素子		
受信方式	ダイレクトコンバージョン 直交復調器		
サンプリングレート	500kHz		
電圧分解能	12bit		
LOの出力電力	0 ~ 19dBm		
使用周波数	2.45GHz		

表2:提案校正法による改善結果のまとめ[dB]

X = · XCX X = IX (= or o o o o o o o o o o o o o o o o o o						
		測定値のみ	校正法 1	校正法 2	校正法	
対角成分の差の最大値		2.57	0.061	0	0.10	
非対角 成分	最小値	-16.6	-17.9	-16.6	-16.6	
	最大値	-6.59	-6.55	-6.59	-7.15	
	中央値	-11.1	-11.1	-11.1	-11.5	
最大固有値と 最小固有値の差		5.31	3.46	3.48	3.12	

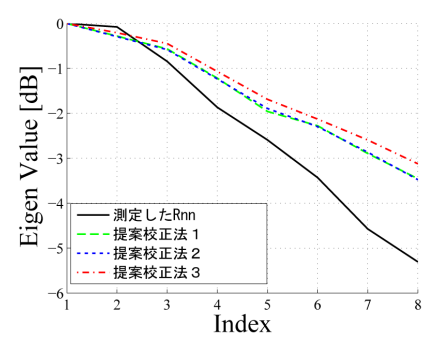


図1:提案校正法を適用した Rmの固有値分布